

中央大学理工学部 正会員 服部昌太郎
同上 井崎嘉幸

1. まえがき

本報は二次元性の傾向が強い砂海浜を行った、海浜地形変化と岸沖方向の漂砂移動の現地観測の報告である。現地観測は昭和55年8月25・26日に、図-1に示す茨城県大洗海岸の防砂安堤基部の海浜（中央粒径0.18mm）を行つた。昭和54年度には、本報と同様の観測をほど同一地盤で行っており、その成果は第27回海岸工学講演会（1980, 服部・小松）で報告した。本報の現地観測は、54年度の観測で明らかとなつた観測方法などの若干の問題点を改善して行つた。

2. 観測方法

(a) 海浜地形 図-1に示す幅10mのA・B＝測線線上に、ポールアレー（ポール間隔2m, アレー長150m）を設置した。地形測定は、8月25日17時より26日18時まで1時間毎に行つた。地形変動は0.5cmの変化まで計測した。アレーの先端水深は約2.2mで、観測期間中の碎波位置はアレー先端より岸側であった。図-2は、観測期間中の潮位変化（実測：大洗港）を示したものである。

(b) 波高・流速 図-1のA測線より安堤側10mの測線上の七地点(G-1～7)に、容量式波高計と二成分電磁式流速計（海浜面上20cm）を設置して、同時に測定を行つた。しかし、波高計の故障、出力低下と風の吹送によって発生する遅延の影響により、データ処理結果の信頼度が不足するため、本報では波高データは参考するに止める。流速の岸沖方向成分の時間波形は、水位変化のそれとさわめて良好な対応を示し、また沿岸方向成分の変動および定常流速はいずれも非常に小さい。 $(\bar{v} = 0 \sim 3 \text{ cm/s})$ 以上の事柄より、観測地盤では安堤による入射波の回折効果は殆んど終息し、波は汀線上直に入射していくと認められる。したがつて、本観測期間中の地形変化と底質移動の二次元性は、十分保証されていふと言える。流速測定のデータ処理は、16分毎と約14.5分毎のデータに對して行つた。この際、25秒以上の長周期成分をカットするhigh pass filterを使用した。

3. 観測結果とその検討

図-3は、A・B測線の26回の地形測定結果を使用して、主成分分析を行つた結果よりえらんだ平均縦断地形（オ1主成分 e_1 ）である。図中には流速計設置位置（矢印）と、H.W.L.とL.W.L.が示されている。主成分分析よりえらんだ $e_2 \sim e_4$ は、図-3の中の縦太線で示す位置にそれを集中（8箇所）している。この事は、観測期間中の海浜変形量が微量で、しかも前段に集中していることによると考えらる。（主成分分析を行つた

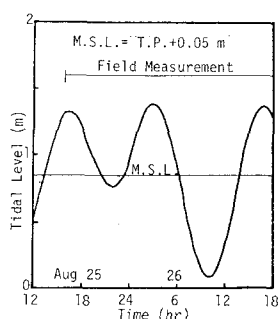
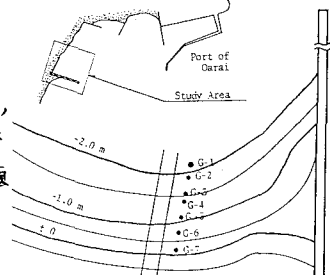


図-2 観測期間中の潮位

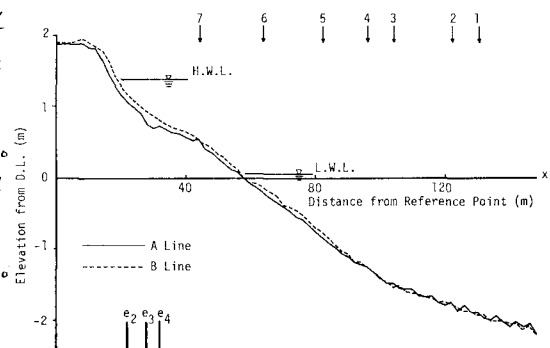


図-3 海浜の平均縦断地形

との妥当性の検討も必要である。)

水面変動と岸沖流速のモニター記録より、碎波位置に近づくにつれてこれらの時間波形の非線形性は増大し、碎波後は時間波形に高周波成分が増えることが認められる。そこで、岸沖流速の発生頻度分布と流速時間波形の非線形度(岸向最大流速 $U_{c1/3}$ と流速振幅 $\bar{U}_{1/3}$ の比)の岸沖方向の変化によつて、入射波の碎波位置を推定した。図-4は、推定碎波位置と汀線位置の時間変化と、入射波高の変化指標として

G-1 地点での岸沖流速の時間変化を示してある。(入射波周期は $T_{1/3} = 5.8 \sim 6.5$ s であった。測定流速より微小振幅波理論によつて入射波高を計算する $H = 0.35 \sim 0.45$ m で、目標観測と波高モードと比較的の良い一致をえらめた。)

2時間ごとの測定地形より、底面移動の重続式を用いて岸沖漂砂量の計算を行った。漂砂量の岸沖方向分布は、 $x > 100$ m での微小な地形変化(0.5 cm 以下)を計測しえなかつたため、土砂收支換算が満足されていりない。(地形変化より漂砂量を推定する限界がある。)岸沖漂砂量の計算結果を用いて、 $x = 8$ までの漂砂量 δc_x の時間変化を、図-5 に画いた。(A 測線のデータ) また、図-5 の結果より、 $x_1 \leq x \leq x_2$ 間の海浜の堆積・侵食量を計算し、その時間変化を示したもののが、図-6 である。図-7 は、主成分分析よりえられた時間関数($C_2 \sim C_4$)の時間変化である。これらの図中には、H.W.L. と L.W.L. の発生時刻を○と●で、対象地より汀線が沖側にある期間を太線で示してある。図-5~7 より次の事が認められる。(1)漂砂の移動方向は、水位上昇時は沖向き、下降時は岸向きである。(2)潮位変動速度が最大となる時刻に、漂砂量も最大となる。(3) $C_2 \sim C_4$ の時間変化は、海浜地形の堆積・侵食に非常に良く対応している。

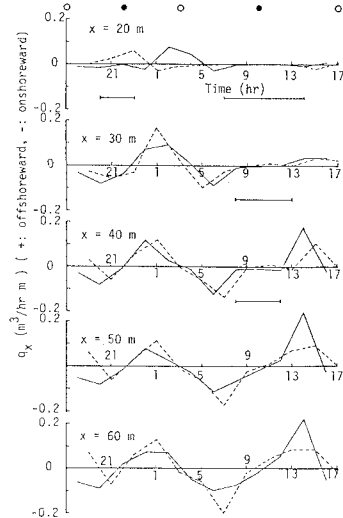


図-5 δc_x の時間変化

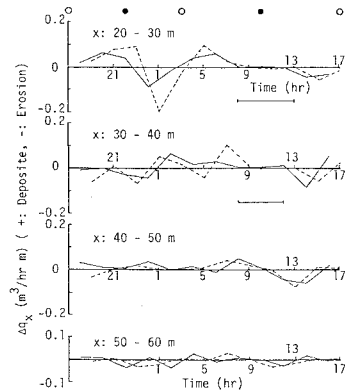


図-6 二断面間の漂砂量
差 $\Delta\delta c_x$ の時間変化

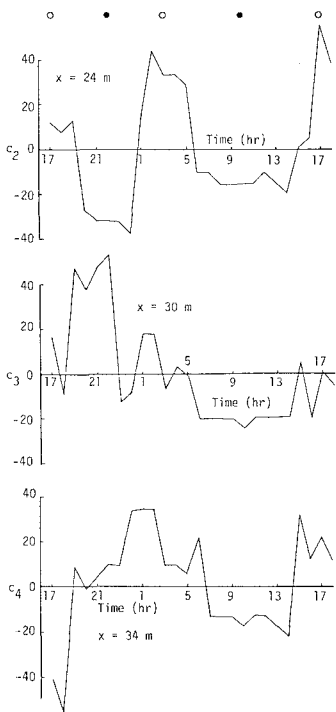
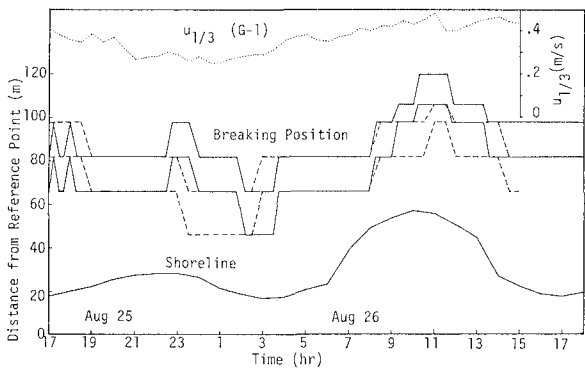


図-7 C の時間変化